

Starkniederschlagshöhen und -spenden gemäß KOSTRA-DWD-2020

Rasterfeld 125142

(Zeile 125, Spalte 142)

Regenspende und Bemessungsniederschlagswerte in Abhängigkeit von Wiederkehrzeit T und Dauerstufe D

| Dauerstufe D | | Wiederkehrzeit T | | | | | | | | | | | | | | | | | |
|--------------|-----|------------------|------------|------|------------|------|------------|------|------------|-------|------------|-------|------------|-------|------------|-------|------------|-------|------------|
| | | 1 a | | 2 a | | 3 a | | 5 a | | 10 a | | 20 a | | 30 a | | 50 a | | 100 a | |
| min | Std | mm | l / (s ha) | mm | l / (s ha) | mm | l / (s ha) | mm | l / (s ha) | mm | l / (s ha) | mm | l / (s ha) | mm | l / (s ha) | mm | l / (s ha) | mm | l / (s ha) |
| 5 | | 7,0 | 233,3 | 8,7 | 290,0 | 9,8 | 326,7 | 11,2 | 373,3 | 13,2 | 440,0 | 15,2 | 506,7 | 16,6 | 553,3 | 18,3 | 610,0 | 20,9 | 696,7 |
| 10 | | 9,2 | 153,3 | 11,4 | 190,0 | 12,8 | 213,3 | 14,6 | 243,3 | 17,2 | 286,7 | 19,9 | 331,7 | 21,7 | 361,7 | 24,0 | 400,0 | 27,3 | 455,0 |
| 15 | | 10,6 | 117,8 | 13,1 | 145,6 | 14,7 | 163,3 | 16,8 | 186,7 | 19,7 | 218,9 | 22,8 | 253,3 | 24,8 | 275,6 | 27,5 | 305,6 | 31,3 | 347,8 |
| 20 | | 11,5 | 95,8 | 14,3 | 119,2 | 16,0 | 133,3 | 18,3 | 152,5 | 21,6 | 180,0 | 24,9 | 207,5 | 27,1 | 225,8 | 30,0 | 250,0 | 34,2 | 285,0 |
| 30 | | 13,0 | 72,2 | 16,1 | 89,4 | 18,0 | 100,0 | 20,6 | 114,4 | 24,3 | 135,0 | 28,0 | 155,6 | 30,5 | 169,4 | 33,8 | 187,8 | 38,4 | 213,3 |
| 45 | | 14,5 | 53,7 | 18,0 | 66,7 | 20,2 | 74,8 | 23,0 | 85,2 | 27,1 | 100,4 | 31,4 | 116,3 | 34,1 | 126,3 | 37,8 | 140,0 | 43,0 | 159,3 |
| 60 | 1 | 15,6 | 43,3 | 19,4 | 53,9 | 21,8 | 60,6 | 24,8 | 68,9 | 29,3 | 81,4 | 33,8 | 93,9 | 36,8 | 102,2 | 40,7 | 113,1 | 46,4 | 128,9 |
| 90 | 1,5 | 17,4 | 32,2 | 21,6 | 40,0 | 24,2 | 44,8 | 27,6 | 51,1 | 32,5 | 60,2 | 37,6 | 69,6 | 40,9 | 75,7 | 45,3 | 83,9 | 51,5 | 95,4 |
| 120 | 2 | 18,7 | 26,0 | 23,2 | 32,2 | 26,0 | 36,1 | 29,7 | 41,3 | 35,0 | 48,6 | 40,4 | 56,1 | 44,0 | 61,1 | 48,7 | 67,6 | 55,4 | 76,9 |
| 180 | 3 | 20,7 | 19,2 | 25,7 | 23,8 | 28,8 | 26,7 | 32,8 | 30,4 | 38,7 | 35,8 | 44,7 | 41,4 | 48,7 | 45,1 | 53,9 | 49,9 | 61,3 | 56,8 |
| 240 | 4 | 22,2 | 15,4 | 27,6 | 19,2 | 30,9 | 21,5 | 35,3 | 24,5 | 41,6 | 28,9 | 48,0 | 33,3 | 52,3 | 36,3 | 57,9 | 40,2 | 65,8 | 45,7 |
| 360 | 6 | 24,5 | 11,3 | 30,5 | 14,1 | 34,1 | 15,8 | 39,0 | 18,1 | 45,9 | 21,3 | 53,1 | 24,6 | 57,8 | 26,8 | 63,9 | 29,6 | 72,7 | 33,7 |
| 540 | 9 | 27,1 | 8,4 | 33,7 | 10,4 | 37,7 | 11,6 | 43,0 | 13,3 | 50,7 | 15,6 | 58,6 | 18,1 | 63,8 | 19,7 | 70,6 | 21,8 | 80,3 | 24,8 |
| 720 | 12 | 29,1 | 6,7 | 36,1 | 8,4 | 40,4 | 9,4 | 46,2 | 10,7 | 54,4 | 12,6 | 62,9 | 14,6 | 68,4 | 15,8 | 75,7 | 17,5 | 86,1 | 19,9 |
| 1080 | 18 | 32,1 | 5,0 | 39,8 | 6,1 | 44,6 | 6,9 | 50,9 | 7,9 | 60,0 | 9,3 | 69,4 | 10,7 | 75,5 | 11,7 | 83,6 | 12,9 | 95,1 | 14,7 |
| 1440 | 24 | 34,4 | 4,0 | 42,7 | 4,9 | 47,9 | 5,5 | 54,6 | 6,3 | 64,4 | 7,5 | 74,4 | 8,6 | 81,0 | 9,4 | 89,6 | 10,4 | 101,9 | 11,8 |
| 2880 | 48 | 40,7 | 2,4 | 50,5 | 2,9 | 56,6 | 3,3 | 64,6 | 3,7 | 76,1 | 4,4 | 88,0 | 5,1 | 95,8 | 5,5 | 106,0 | 6,1 | 120,6 | 7,0 |
| 4320 | 72 | 44,9 | 1,7 | 55,7 | 2,1 | 62,5 | 2,4 | 71,3 | 2,8 | 84,0 | 3,2 | 97,1 | 3,7 | 105,7 | 4,1 | 116,9 | 4,5 | 133,0 | 5,1 |
| 5760 | 96 | 48,1 | 1,4 | 59,8 | 1,7 | 67,0 | 1,9 | 76,4 | 2,2 | 90,0 | 2,6 | 104,1 | 3,0 | 113,3 | 3,3 | 125,3 | 3,6 | 142,6 | 4,1 |
| 7200 | 120 | 50,8 | 1,2 | 63,1 | 1,5 | 70,7 | 1,6 | 80,7 | 1,9 | 95,0 | 2,2 | 109,9 | 2,5 | 119,6 | 2,8 | 132,3 | 3,1 | 150,5 | 3,5 |
| 8640 | 144 | 53,1 | 1,0 | 65,9 | 1,3 | 73,9 | 1,4 | 84,3 | 1,6 | 99,3 | 1,9 | 114,8 | 2,2 | 125,0 | 2,4 | 138,3 | 2,7 | 157,3 | 3,0 |
| 10080 | 168 | 55,1 | 0,9 | 68,4 | 1,1 | 76,7 | 1,3 | 87,5 | 1,4 | 103,1 | 1,7 | 119,2 | 2,0 | 129,7 | 2,1 | 143,5 | 2,4 | 163,3 | 2,7 |

Starkniederschlagshöhen und -spenden gemäß KOSTRA-DWD-2020

Rasterfeld 125142

(Zeile 125, Spalte 142)

Örtliche Unsicherheiten in Abhängigkeit von Wiederkehrzeit T und Dauerstufe D

| Dauerstufe D | | Wiederkehrzeit T | | | | | | | | |
|--------------|-----|------------------|-----|-----|-----|------|------|------|------|-------|
| | | 1 a | 2 a | 3 a | 5 a | 10 a | 20 a | 30 a | 50 a | 100 a |
| min | Std | ± % | ± % | ± % | ± % | ± % | ± % | ± % | ± % | ± % |
| 5 | | 12 | 13 | 14 | 15 | 15 | 16 | 16 | 17 | 17 |
| 10 | | 15 | 17 | 18 | 19 | 20 | 21 | 21 | 22 | 22 |
| 15 | | 17 | 19 | 20 | 21 | 22 | 23 | 23 | 24 | 25 |
| 20 | | 18 | 20 | 21 | 22 | 23 | 24 | 25 | 25 | 26 |
| 30 | | 19 | 21 | 22 | 23 | 24 | 25 | 26 | 26 | 27 |
| 45 | | 19 | 21 | 22 | 23 | 24 | 25 | 26 | 26 | 27 |
| 60 | 1 | 19 | 21 | 22 | 23 | 24 | 25 | 26 | 26 | 27 |
| 90 | 1,5 | 18 | 20 | 21 | 22 | 24 | 24 | 25 | 26 | 26 |
| 120 | 2 | 17 | 20 | 21 | 22 | 23 | 24 | 24 | 25 | 25 |
| 180 | 3 | 16 | 19 | 20 | 21 | 22 | 23 | 23 | 24 | 24 |
| 240 | 4 | 16 | 18 | 19 | 20 | 21 | 22 | 22 | 23 | 24 |
| 360 | 6 | 15 | 17 | 18 | 19 | 20 | 21 | 21 | 22 | 22 |
| 540 | 9 | 14 | 16 | 17 | 18 | 19 | 20 | 20 | 21 | 21 |
| 720 | 12 | 14 | 16 | 16 | 17 | 18 | 19 | 20 | 20 | 21 |
| 1080 | 18 | 14 | 15 | 16 | 17 | 17 | 18 | 19 | 19 | 20 |
| 1440 | 24 | 14 | 15 | 15 | 16 | 17 | 18 | 18 | 19 | 19 |
| 2880 | 48 | 15 | 15 | 15 | 16 | 17 | 17 | 17 | 18 | 18 |
| 4320 | 72 | 16 | 16 | 16 | 16 | 17 | 17 | 17 | 18 | 18 |
| 5760 | 96 | 17 | 17 | 17 | 17 | 17 | 18 | 18 | 18 | 18 |
| 7200 | 120 | 18 | 17 | 17 | 17 | 18 | 18 | 18 | 18 | 18 |
| 8640 | 144 | 18 | 18 | 18 | 18 | 18 | 18 | 18 | 19 | 19 |
| 10080 | 168 | 19 | 19 | 18 | 18 | 18 | 19 | 19 | 19 | 19 |

Parameter für abweichende T und D

Lokationsparameter ξ (Xi)

15,98819035

Skalenparameter α (Alpha)

5,36722329

Formparameter κ (Kappa)

-0,1

1. Koutsoyiannis-Parameter θ (Theta)

0,02776865

2. Koutsoyiannis-Parameter η (Eta)

0,75833404

Parameter für dauerstufenübergreifende Extremwertschätzung nach KOUTSOYIANNIS et al. 1998.

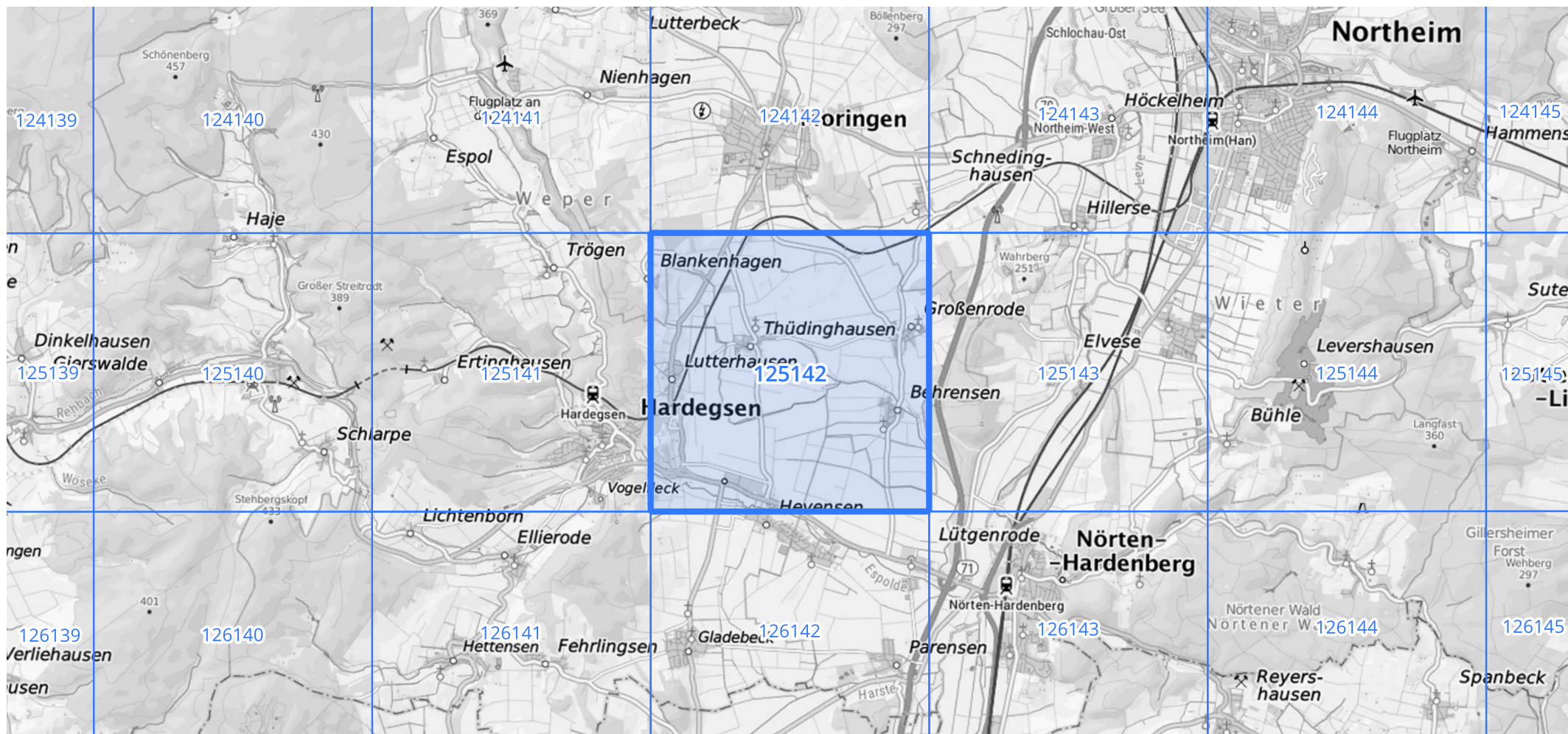
Siehe auch Anwendungshilfe zu KOSTRA-DWD-2020 des Deutschen Wetterdienstes.

Starkniederschlagshöhen und -spenden gemäß KOSTRA-DWD-2020

Rasterfeld 125142

(Zeile 125, Spalte 142)

Übersichtskarte des Rasterfeldes 125142, M 1 : 100 000



Quelle Rasterdaten: KOSTRA-DWD-2020 des Deutschen Wetterdienstes, Stand 12/2022.

Seite 3 von 3

Kartendarstellung: © Bundesamt für Kartographie und Geodäsie (2023), Datenquellen: https://sgx.geodatenzentrum.de/web_public/gdz/datenquellen/Datenquellen_TopPlusOpen.html

Für die Richtigkeit und Aktualität der Angaben wird keine Gewähr übernommen. Erstellt 01/2023.